

4. Прикладная математика

Комолов В.М., канд. физ-мат наук **Латынин Ю.М.**

Украинская инженерно-педагогическая академия, г. Харьков

Суперпозиция скалярных и векторных асинхронных гармонических колебаний

Введение. В физике давно известны фигуры Лиссажу. Они представляют собой пророчиваемые точкой замкнутые траектории, которая «одновременно участвует в двух гармонических колебаниях в двух взаимно перпендикулярных направлениях» [1]. Их можно представить как суперпозицию векторных гармонических колебаний, конец результирующего вектора, которых описывает траекторию (*годограф вектора*) – фигуры Лиссажу. Более сложный вариант возникает при суперпозиции асинхронных скалярных гармонических колебаний: при произвольных соотношениях между амплитудами, частотами и начальными фазами. Применив обобщенную теорему сложения тригонометрических функций [2] к процессу суперпозиции колебаний можно получить новые, аналитические представления для амплитуд, фаз и частот в случае сложения скалярных колебаний (см. часть 2) и изучить «внутреннюю структуру» фигур (кривых) Лиссажу в первом случае (часть 1).

Часть 1. Пусть в плоскости комплексного переменного $z = x + iy$ совершаются одновременно два гармонических колебания в перпендикулярных направлениях:

$$x = A_m \sin(m\omega \cdot t - \varphi_m); \quad y = A_n \sin(n\omega \cdot t - \varphi_n), \quad (1)$$

где ω - круговая частота $\omega = 2\pi f = 2\pi/T$, где T - период «базового» колебания t - время, A_m, A_n – амплитуды колебаний, φ_m, φ_n - начальные фазы, а m, n - целые числа. Представим нижеследующие соотношения в более компактном виде. С этой целью введем обозначение $v = m \cdot \omega \cdot t - \varphi_m; u = n \cdot \omega \cdot t - \varphi_n$ (2)

Тогда результирующее колебание точки в плоскости z имеет вид:

$$z(t) = x + iy = z = A_m \cdot \sin v + iA_n \cdot \sin u \quad (3)$$

При заданных числовых значениях вышеуказанных параметров в (1) можно построить кривые Лиссажу (так именовать их будем ниже) в декартовой системе координат. Они приведены в известных источниках (см. [1], [3]). Однако

изучить их внутреннюю структуру при этом не удается. Поэтому обратимся к их представлению в полярной системе координат. Из (1) и (3):

$$z = x + iy = A_m \sin v + i \cdot A_n \sin u = \sqrt{A_m^2 \sin^2 v + A_n^2 \sin^2 u} \cdot e^{i \operatorname{arctg} \left[\frac{A_n \sin u}{A_m \sin v} \right]} \quad (4)$$

Преобразуем аргумент z , используя соотношения, полученные в [2]

$$\operatorname{arctg} s + \operatorname{arctg} [(1-s)/(1+s)] = \pi/4. \quad (5)$$

Тогда $\operatorname{arctg} \left[\frac{A_n \sin u}{A_m \sin v} \right] = \frac{\pi}{4} - \operatorname{arctg} \left[\frac{A_m \sin v - A_n \sin u}{A_m \sin v + A_n \sin u} \right] = \frac{\pi}{4} - \varphi(t),$ (6)

где $\varphi(t) = \operatorname{arctg} \left[\frac{A_m \cdot \sin v - A_n \cdot \sin u}{A_m \cdot \sin v + A_n \cdot \sin u} \right].$ (6')

Введем обозначение $r(t) = \sqrt{A_m^2 \cdot \sin^2 v + A_n^2 \cdot \sin^2 u}.$ (7)

Заметим, что в составляющую величину v и u входит время:

$$\omega \cdot t = 2\pi \cdot f \cdot t = 2\pi \cdot t/T = 2\pi \cdot t' \quad (8)$$

где $t' = t/T$ безразмерная величина, для «базового» колебания частоты ω (периодом T) $0 \leq t' \leq 1.$

Преобразуем выражение $\varphi(t)$, используя формулы сложения из [2]:

$$\begin{aligned} A_m \cdot \sin v - A_n \cdot \sin u &= 2\sqrt{A_m \cdot A_n} \cdot \operatorname{Im} \{ e^{i\psi} \cdot \operatorname{sh}(p + i\psi) \} = \\ &= 2\sqrt{A_m \cdot A_n} \cdot |\operatorname{sh}(p + i\psi)| \cdot \sin[\gamma + \operatorname{arctg}(\operatorname{cth} p \cdot \operatorname{tg} \psi)]. \end{aligned} \quad (9)$$

$$\begin{aligned} A_m \cdot \sin v + A_n \cdot \sin u &= 2\sqrt{A_m \cdot A_n} \cdot \operatorname{Im} \{ e^{i\gamma} \cdot \operatorname{ch}(p + i\psi) \} = \\ &= 2\sqrt{A_m \cdot A_n} \cdot |\operatorname{ch}(p + i\psi)| \cdot \sin[\gamma + \operatorname{arctg}(\operatorname{th} p \cdot \operatorname{tg} \psi)]. \end{aligned} \quad (10)$$

В (9), (10) $p = \ln \sqrt{A_m / A_n}; \gamma = (v + u)/2; \psi = (v - u)/2.$ (11)

$$\begin{aligned} \varphi(t) &= \operatorname{arctg} \left[\frac{A_m \sin v - A_n \sin u}{A_m \sin v + A_n \sin u} \right] = \operatorname{arctg} \left[\frac{\operatorname{Im}(e^{i\gamma} \cdot \operatorname{sh}(p + i\psi))}{\operatorname{Im}(e^{i\gamma} \cdot \operatorname{ch}(p + i\psi))} \right] = \\ &= \operatorname{arctg} \left\{ \operatorname{th}(p + i\psi) \cdot \frac{\sin(\gamma + \operatorname{arctg}(\operatorname{cth} p \cdot \operatorname{tg} \psi))}{\sin(\gamma + \operatorname{arctg}(\operatorname{th} p \cdot \operatorname{tg} \psi))} \right\}. \end{aligned} \quad (12)$$

Окончательно $z(t) = x(t) + iy(t) = r(t) \cdot e^{i[\frac{\pi}{4} - \varphi(t)]},$

где $r(t)$ определено в (7) а $\varphi(t)$ – в (6'), (12). Представим другой, более краткий вариант вывода (4), (6):

$$x + iy = A_m \sin v + iA_n \sin u = e^{i\frac{\pi}{4}} \cdot (e^{-i\frac{\pi}{4}} A_m \sin v + e^{i\frac{\pi}{4}} \cdot A_n \sin u) = \frac{\sqrt{2}}{2} e^{i\frac{\pi}{4}} \times \\ \times [(A_m \sin v + A_n \sin u) - i(A_m \sin v - A_n \sin u)] = \sqrt{A_m^2 \sin^2 v + A_n^2 \sin^2 u} \times \\ \times e^{i(\frac{\pi}{4} - \operatorname{arctg} \frac{A_m \cdot \sin v - A_n \cdot \sin u}{A_m \cdot \sin v + A_n \cdot \sin u})}, \quad \text{что совпадает с (4) и (6').}$$

Имеет место еще одно представление, которое отлично от (12). Покажем это.

$$\varphi(t) = \operatorname{arctg} \left[\frac{A_m \cdot \sin v - A_n \cdot \sin u}{A_m \cdot \sin v + A_n \cdot \sin u} \right] = \operatorname{arctg} \frac{A \cdot \left[\frac{\sin v - \sin u}{\sin v + \sin u} \right] + B}{A + B \cdot \left[\frac{\sin v - \sin u}{\sin v + \sin u} \right]} = \\ = \operatorname{arctg} \left[\frac{\operatorname{ctg} \gamma \cdot \operatorname{tg} \psi + thp}{1 + thp \cdot \operatorname{ctg} \gamma \cdot \operatorname{tg} \psi} \right], \quad \text{где} \quad (13)$$

$$A = (A_m + A_n)/2; B = (A_m - A_n)/2; B/A = (A_m - A_n)/(A_m + A_n) = thp \quad (14)$$

Когда $A_m = A_n = A$, т.е. равны, то

$$z(t) = x + iy = A \cdot \sqrt{\sin^2 u + \sin^2 v} \cdot e^{i[\frac{\pi}{4} - \varphi(t)]}; p = \ln \sqrt{\frac{A_m}{A_n}} = 0; thp = 0;$$

$$\varphi(t) = \operatorname{arctg} [\operatorname{ctg} \gamma \cdot \operatorname{tg} \psi] = \operatorname{arctg} [((v+u)/2) \cdot \operatorname{tg} ((v-u)/2)].$$

$$\text{В конечном итоге} \quad r(t') = A \cdot \sqrt{\sin^2 v + \sin^2 u} \quad (15)$$

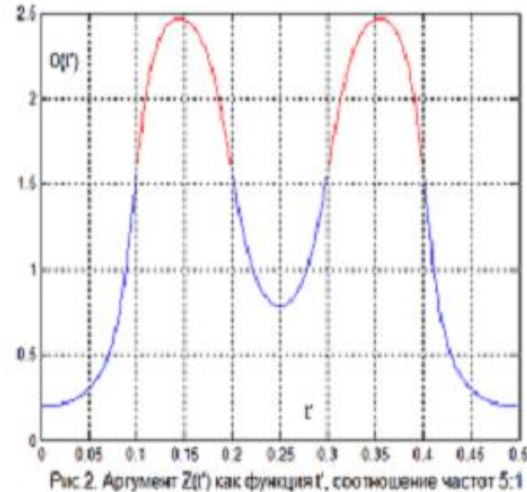
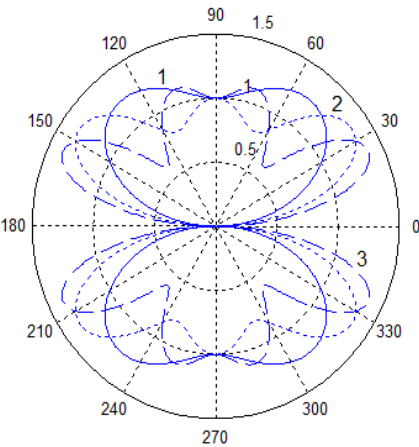
$$\theta(t') = \arg z(t') = \pi/4 - \operatorname{arctg} [\operatorname{ctg} ((v+u)/2) \cdot \operatorname{tg} ((v-u)/2)]. \quad (16)$$

Если принять начальные фазы φ_m, φ_n равными нулю, то при $m, n > 0$

$$(v+u)/2 = 2\pi \cdot t' \cdot (m+n)/2; \quad (v-u)/2 = 2\pi \cdot t' \cdot (m-n)/2; \quad 0 < t' \leq 1. \quad (17)$$

На рис.1 приведена иллюстрация зависимости модуля $z(t')$: $r(t')=r(2\pi t')$ при соотношении частот 2:1; 3:2 и 4:3. На рис.2 дана зависимость аргумента $\theta(t')$ комплексной функции $z(t')$ от времени t' при соотношении частот 5:1. На рис.3 дана последовательность кривых Лиссажу при том же соотношении частот и различных сдвигах фаз исходных гармонических колебаний.

Часть 2. Исследование суперпозиции двух гармонических колебаний включает и изучение частного случая – биений: сложение двух колебаний с близкими



частотами и равными амплитудами. Этот случай изучен достаточно подробно. В суммарном сигнале при этом обычно выделяют огибающую и полную фазу. Суперпозиция 2-х гармонических колебаний при произвольном соотношении между их амплитудами, частотами и начальными фазами не исследовалась. Рассмотрим именно этот случай. Пусть задан сигнал $s(t)$, как сумма двух гармоник с частотами ω_1, ω_2 : $s(t)=A_1 \cdot \sin(\omega_1 t + \varphi_1) + A_2 \cdot \sin(\omega_2 t + \varphi_2)$ (18)

Необходимо представить $s(t)$ в форме: $s(t)=A(t) \cdot \sin\psi(t)$, (19)

т.е. в виде, где $A(t)$ – огибающая суммарного сигнала и полная фаза ψ являются функциями времени: $\psi=\omega_0 \cdot t + \theta(t) + \theta_0$, причем $\theta(t)$ не содержит слагаемого, линейно зависящего от времени. Произведем в (18) ряд преобразований, взяв за основу соотношения, полученные в [2]:

$$\begin{aligned}
 s(t) &= \operatorname{Im} \left\{ A_1 \cdot e^{i(\omega_1 t + \varphi_1)} + A_2 \cdot e^{i(\omega_2 t + \varphi_2)} \right\} = \\
 &= \operatorname{Im} \left\{ 2 \cdot \sqrt{A_1 \cdot A_2} \cdot e^{i[(\omega_1 + \omega_2)t/2 + (\varphi_1 + \varphi_2)/2]} \cdot \operatorname{ch} \left[\ln \sqrt{A_1 / A_2} + i \left(\frac{\omega_1 - \omega_2}{2} t + \frac{\varphi_1 - \varphi_2}{2} \right) \right] \right\} = \\
 &= \sqrt{A_1^2 + A_2^2 + 2A_1 \cdot A_2 \cos[(\omega_1 - \omega_2) \cdot t + (\varphi_1 - \varphi_2)]} \cdot \sin \left\{ \frac{\omega_1 + \omega_2}{2} t + \frac{\varphi_1 + \varphi_2}{2} + \right. \\
 &\quad \left. + \operatorname{arctg} \left[\frac{A_1 - A_2}{A_1 + A_2} \cdot \operatorname{tg} \left(\frac{\omega_1 - \omega_2}{2} t + \frac{\varphi_1 - \varphi_2}{2} \right) \right] \right\}. \quad (19')
 \end{aligned}$$

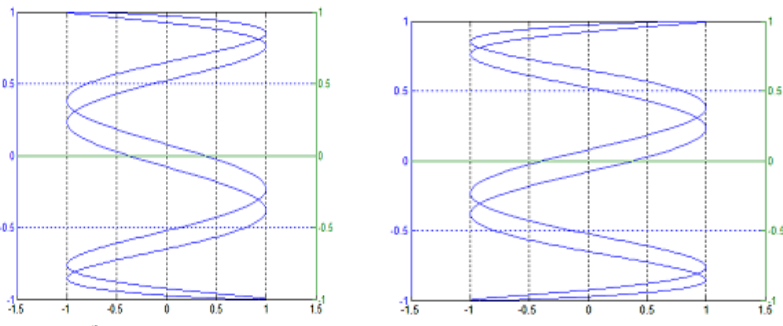


Рис.3. Кривые Лиссажу, частоты 5:1, сдвиг фаз $\pm 45^\circ$

Огибающая $A(t)$ есть выражение в формуле (19'), стоящее перед функцией синуса, т.е под корнем, а полная фаза $\psi(t)$ суммарного сигнала – выражение аргумента синуса:

$$A(t) = \sqrt{A_1^2 + A_2^2 + 2A_1A_2 \cos[(\omega_1 - \omega_2)t + (\varphi_1 - \varphi_2)]} ; \quad (20)$$

$$\psi(t) = \frac{\omega_1 + \omega_2}{2}t + \frac{\varphi_1 + \varphi_2}{2} + \operatorname{arctg} \left[\frac{A_1 - A_2}{A_1 + A_2} \operatorname{tg} \left(\frac{\omega_1 - \omega_2}{2}t + \frac{\varphi_1 - \varphi_2}{2} \right) \right]. \quad (21)$$

Далее, без уменьшения общности, начальные фазы полагаем равными нулю, т.е. $\varphi_1 = \varphi_2 = 0$. Величина $A(t)$ может быть представлена и в другой форме:

$$A(t) = \sqrt{(A_1 + A_2)^2 \cdot \cos^2 \frac{\Delta\omega}{2} t + (A_1 - A_2)^2 \cdot \sin^2 \frac{\Delta\omega}{2} t} = 2\sqrt{A_1 A_2} \cdot \left| \operatorname{ch} \left(p + i \frac{\Delta\omega}{2} t \right) \right|, \quad (22)$$

$$\text{где } p = \ln \sqrt{A_1 / A_2}, \text{ а } \Delta\omega = \omega_1 - \omega_2. \quad (23)$$

$$\text{С учетом (23)} \quad \psi(t) = \frac{\omega_1 + \omega_2}{2}t + \operatorname{arctg} \left[\operatorname{th} p \cdot \operatorname{tg} \left(\frac{\Delta\omega}{2} t \right) \right]. \quad (24)$$

Период T огибающей $A(t)$ суммарного сигнала равен:

$$T = 2\pi / (\omega_1 - \omega_2). \quad (25)$$

Огибающая $A(t)$ принимает минимальное значение $A_{\min} = A_1 - A_2$ при $t = t_k$,

$$\text{где } t_k = \pi \cdot (1+2k) / (\omega_1 - \omega_2), \quad k = 0, 1, 2, 3, \dots \quad (26)$$

и максимальное значение $A_{\max} = A_1 + A_2$ при $t = t_k$

$$t_k = 2k \cdot \pi / (\omega_1 - \omega_2), \quad k = 0, 1, 2, 3, \dots \quad (27)$$

Мгновенную частоту $\omega(t)$ сигнала $s(t)$ определяют из соотношения $\omega(t) = d\psi(t)/dt$. Привлекая (24), после ряда преобразований получим выражение для мгновенной частоты $\omega(t)$:

$$\omega(t) = (\omega_1 + \omega_2)/2 + F \cdot (\omega_1 - \omega_2)/2 = \omega_1(1 + F)/2 + \omega_2(1 - F)/2, \quad (28)$$

$$\text{где } F = \frac{A_1^2 - A_2^2}{A^2(t)} = \frac{\eta^2 - 1}{(\eta + 1)^2 \cdot \cos^2(\Delta\omega \cdot t / 2) + (\eta - 1)^2 \cdot \sin^2(\Delta\omega \cdot t / 2)}, \quad (29)$$

$$\text{а } \eta = A_1/A_2. \quad (30)$$

Раскроем сомножители ($1 \pm F$) в (28):

$$1 + F = 2 \cdot \frac{\eta(\eta + \cos(\Delta\omega \cdot t))}{1 + \eta^2 + 2\eta \cdot \cos(\Delta\omega \cdot t)} \quad \text{и} \quad 1 - F = 2 \cdot \frac{1 + \eta \cdot \cos(\Delta\omega \cdot t)}{1 + \eta^2 + 2\eta \cdot \cos(\Delta\omega \cdot t)}$$

и получим выражение для мгновенной частоты $\omega(t)$, которое совпадает с тем, что приведено в [4]. С учетом (22) получим другое представление параметра F :

$$F = \frac{1}{2} \cdot \frac{\operatorname{sh}(2p)}{\left| \operatorname{ch}(p + i \cdot \Delta\omega \cdot t / 2) \right|^2} \quad (31)$$

Проведенный анализ (28),(29) позволяет получить значения мгновенной частоты $\omega(t)$ в точках достижения максимума и минимума огибающей $A(t)$. В точке максимума (27) огибающей $A(t)$:

$$\omega(t) = \frac{\omega_1 + \omega_2}{2} + \frac{\omega_1 - \omega_2}{2} \cdot \frac{\eta + 1}{\eta - 1}, \quad 0 < \eta < \infty \quad (32)$$

В точке минимума (26) огибающей $A(t)$ мгновенная частота:

$$\omega(t) = \frac{\omega_1 + \omega_2}{2} + \frac{\omega_1 - \omega_2}{2} \cdot \frac{\eta - 1}{\eta + 1}, \quad 0 < \eta < \infty \quad (33)$$

Из (32),(33) следует, что для установления характера частотного заполнения сигнала $s(t)$ можно использовать параметр

$$V = A_1 \cdot \omega_1 / (A_2 \cdot \omega_2) = \eta \cdot \omega_1 / \omega_2 \quad (34)$$

При этом полагаем во всех случаях $\eta > 1$! Тогда возможны три случая. Мгновенная частота при: **1.-** $V > 1$ на периоде огибающей всегда положительна, т.е. $\omega(t) > 0$; **2.-** $V = 1$ в точке минимума огибающей равна 0; **3.-** $V < 1$ в минимуме огибающей отрицательна $\omega(t) < 0$. Рис.4 иллюстрирует поведение полной фазы $\psi(t) = \theta(t)$ суммарного сигнала от t при различных значениях параметра p : переменная изменяется в пределах периода огибающей T ($-T/2 \leq t \leq T/2$). На рис. 5,6 даны зависимости мгновенной частоты $\omega(t)$ суммарного сигнала при различных значениях параметра V в точках минимума и максимума огибающей.

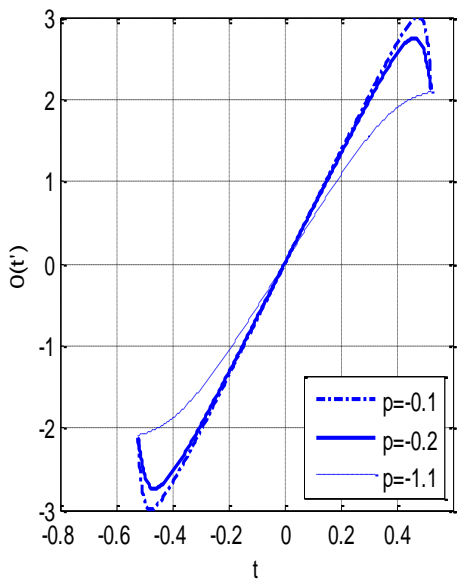


Рис. 4

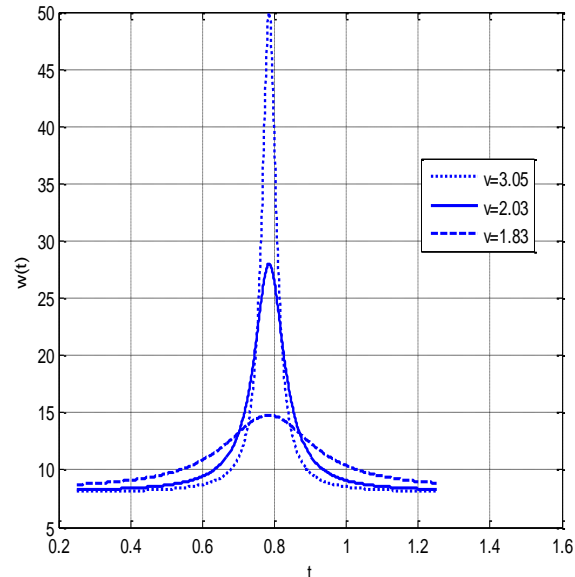


Рис. 5

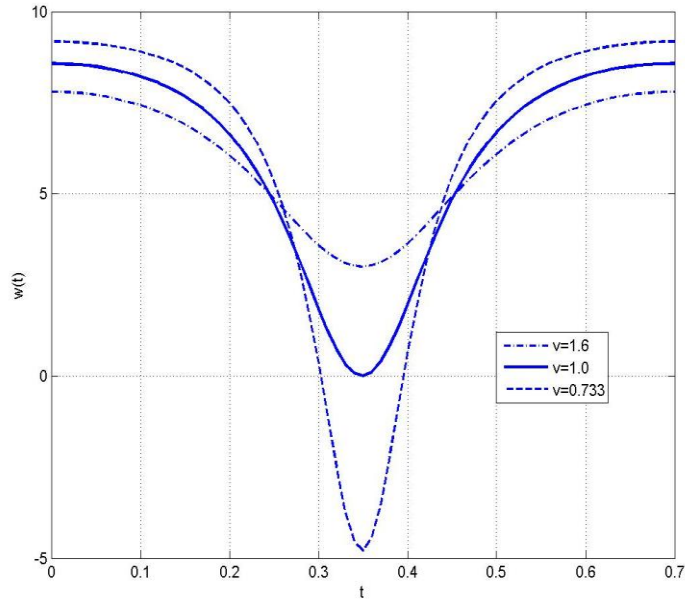


Рис. 6

Выводы: На основе теорем сложения [2] получены аналитические соотношения, которые позволяют изучать суперпозицию скалярных и векторных гармонических колебаний в наиболее общем случае.

Литература:

1. БЭС. Физика. Под ред. Прохорова А.М. 4-е изд. Больш. Рос. энц., М., 1999.
2. Комолов В.М. Обобщение теорем сложения для тригонометрических функций. Mater. of the X Intern. Scien. and pract. conf. «Modern European scien.»-2014, v.15, Mathematics.Physics, Sheffield, Scien. and Educat.LTD, p.38-42
3. Горелик Г.С Колебания и волны. Гос. изд-во физ-мат лит-ры., М., 1959.
4. Гоноровский И.С. Радиотехнические цепи и сигналы. М.: Сов. Радио, 1971